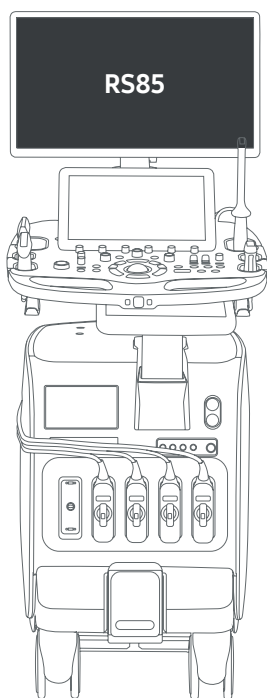


# Качественно новый уровень экспертной диагностики

RS85 — новейший диагностический инструмент для самого широкого спектра клинических исследований, сочетающий высочайшую производительность с превосходным качеством визуализации. Передовой интеллектуальный функционал поможет вам уверенно проводить диагностику, принимая правильные решения, а простой интерфейс обеспечит комфорт в повседневной работе.



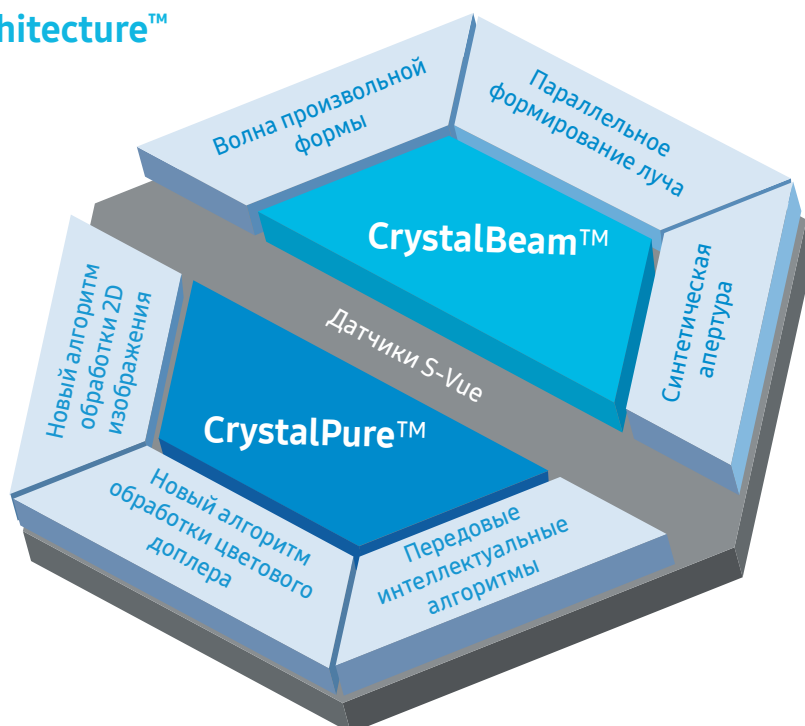


## Новая архитектура Crystal Architecture™ для кристально чистых изображений

Соединяя технологию CrystalBeam™ с возможностями процессора CrystalPure™ и преимуществами датчиков S-Vue™, архитектура Crystal Architecture™ обеспечивает непревзойденное качество изображений. Технология CrystalBeam™ по-новому формирует УЗ-луч, обеспечивая высочайшую разрешающую способность и монолитность изображений.

CrystalPure™ — разработанный в Samsung современный алгоритм обработки изображения на основе высокочувствительного цветового доплера и улучшенного режима обработки 2D-изображений. Даже в сложных случаях он обеспечивает высокую эффективность исследований и превосходное качество визуализации.

### Crystal Architecture™



**X4**

Скорость передачи данных при высокой частоте кадров\*



**X4**

Вычислительная мощность для снимков высокого качества\*



**X2**

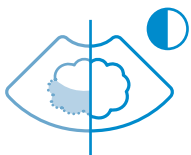
Объем памяти графического процессора при высокой частоте объемных кадров\*

\*Сравнение с предыдущей версией

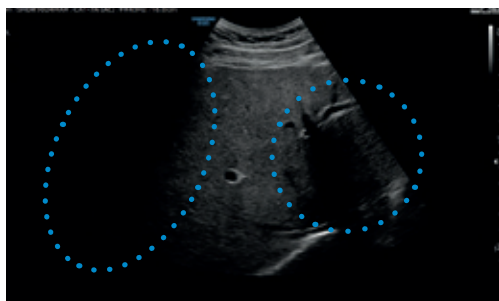
# CrystalPure: чистое решение и безупречное изображение

Технология обработки изображений CrystalPure™ на основе высокочувствительного цветового доплера и улучшенного режима обработки 2D-изображений поможет уверенно провести диагностику.

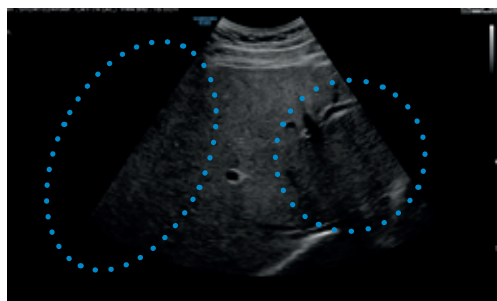
## ShadowHDR™



ShadowHDR™ последовательно использует высокочастотную и низкочастотную составляющие УЗ-сигнала для идентификации затененных участков, в которых происходит затухание сигнала



Изображение печени без применения ShadowHDR™

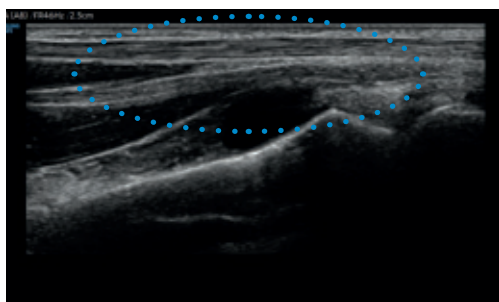


Изображение печени с ShadowHDR™

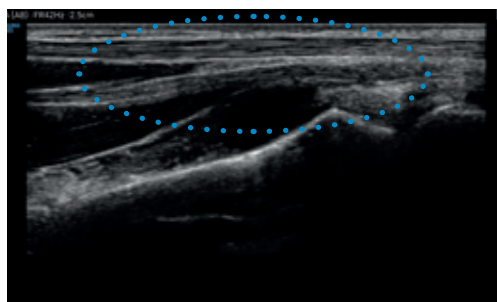
## HQ-Vision™



HQ-Vision™ повышает четкость ультразвукового изображения, компенсируя характеристики, за счет которых в реальном времени картина выглядит немного смазанной.



Запястье без применения HQ-Vision™



Запястье с применением HQ-Vision™

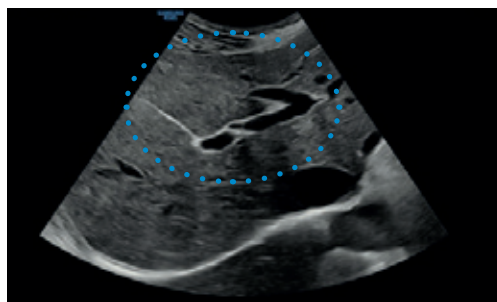
## PureVision™



PureVision™ — фильтр, в реальном времени удаляющий спекл-шумы и артефакты и усиливающий контуры для более высокого контраста ультразвукового изображения на границе сред разной эхо-плотности.



Печень без применения PureVision™



Печень с применением PureVision™



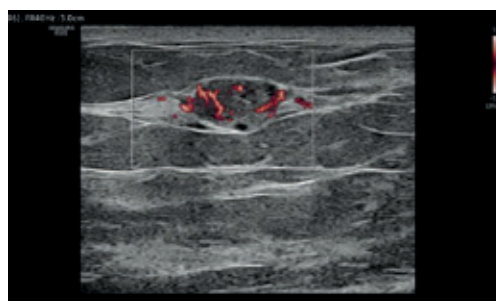
## MV-Flow™



MV-Flow™ визуализирует низкоскоростной кровотоки, достоверно отображая его интенсивность в цвете. Режим предназначен для наблюдения за микроциркуляцией и кровотоком в объемных образованиях.



Почка в режиме MV-Flow™

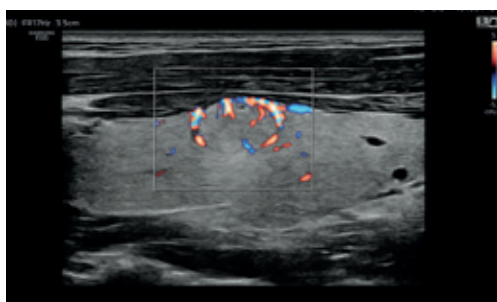


Новообразование молочной железы в режиме MV-Flow™

## S-Flow™



Технология направленного цветового картирования S-Flow позволяет увидеть и детально оценить кровотоки в мельчайших периферических сосудах. Это гарантирует высокую точность диагностики даже в сложных случаях.



Щитовидная железа в режиме S-Flow™



Почка в режиме S-Flow™

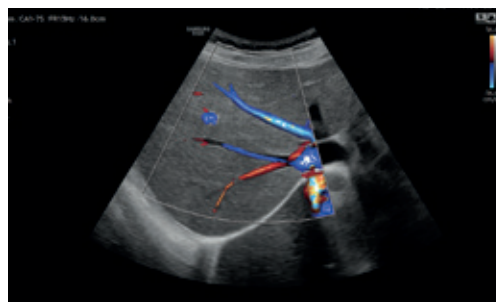
## LumiFlow™



Функция стереоскопической визуализации сосудов LumiFlow™ помогает точнее определить структуру сосудистого дерева, включая мелкие сосуды.



Почка (MV-Flow™ и LumiFlow™)

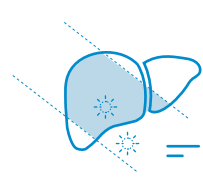


Печень (S-Flow™ и LumiFlow™)

# Высокий интеллект для моментальной оценки

Функциональный набор системы позволяет специалисту в реальном времени управлять ультразвуком, измеряя интенсивность его распространения в тканях и повышая точность диагностики.

## EzHRI™

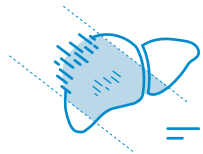


HRI (гепато-ренальный индекс) — показатель количественной оценки жировой инфильтрации печени путем сравнения эхогенности паренхимы печени и почек. EzHRI помещает 2 области интереса в паренхиму печени и паренхиму почки и рассчитывает соотношение HRI

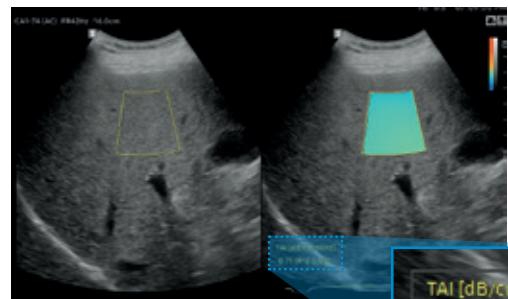


Измерение гепато- ренального индекса (EzHRI™)

## TAI™

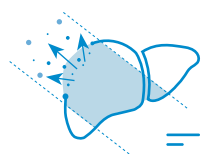


TAI™ (визуализация звукоослабления) измеряет снижение интенсивности ультразвуковой волны в тканях печени для количественной оценки степени жировой дистрофии.

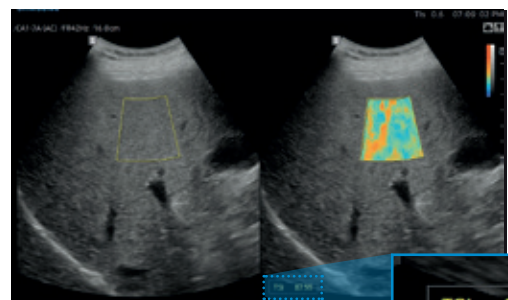


Измерение затухания УЗ-сигнала в печени (TAI™)

## TSI™



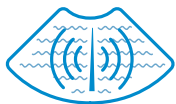
TSI™ (визуализация звукорассеяния) измеряет рассеяние УЗ-сигнала в ткани печени для количественной оценки степени жировой дистрофии.



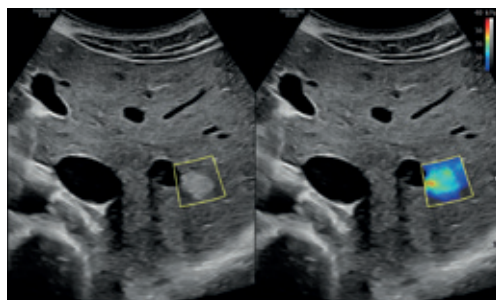
Измерение рассеяния УЗ-сигнала в печени (TSI™)



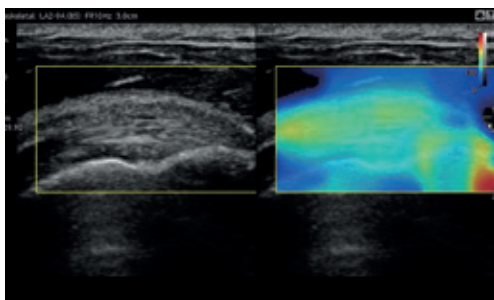
## S-Shearwave Imaging™



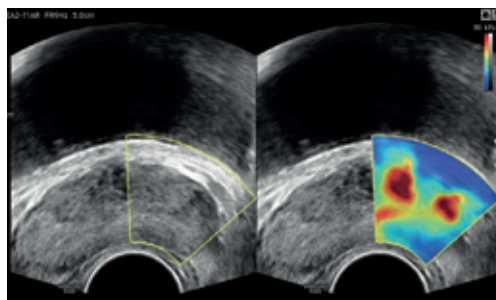
S-Shearwave Imaging™ — неинвазивная технология измерения жесткости тканей молочной железы, печени, предстательной железы и скелетно-мышечных структур. Эластограмма с цветовой картой, количественные данные и функция двойного окна дают возможность точно диагностировать заболевания молочной железы, печени и других органов.



Измерение локальной жесткости печени сдвиговой волной (S-Shearwave Imaging™)



Сухожилие надостной мышцы в режиме S-Shearwave Imaging™



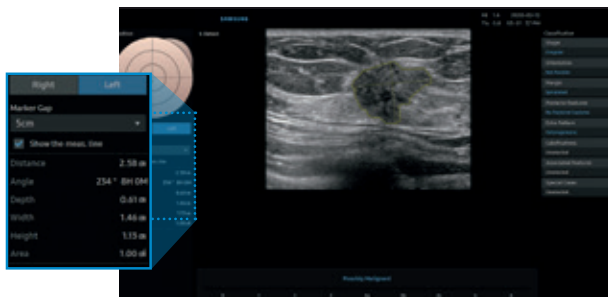
Предстательная железа в режиме S-Shearwave Imaging™

## S-Detect™



### S-Detect™ для молочной железы

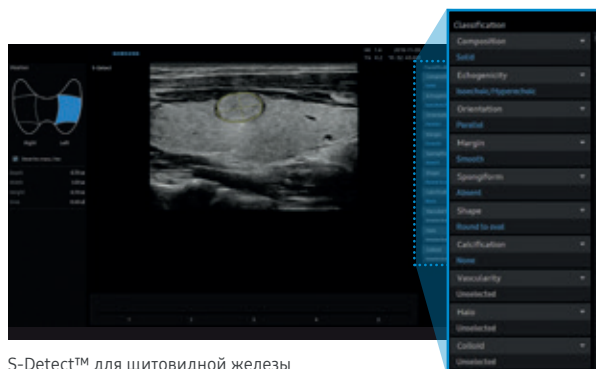
S-Detect™ для молочной железы автоматически анализирует очаговые образования, представляя результаты в виде отчета по лексикону BI-RADS\* (Breast Imaging-Reporting and Data System). Функция обеспечивает стандартизацию и высокую пропускную способность диагностического процесса.



S-Detect™ для молочной железы

### S-Detect™ для щитовидной железы

S-Detect™ для щитовидной железы автоматически анализирует очаговые образования, представляет результаты в виде отчета по стандартам ATA\*, BTA\*, EU-TIRADS\* и K-TIRADS\*. Функция обеспечивает высокую пропускную способность диагностического процесса.



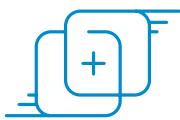
S-Detect™ для щитовидной железы

\*BI-RADS ATLAS: зарегистрированный торговый знак Американского колледжа радиологии. \*ATA: Американская ассоциация тирологов  
 \*BTA: Британская ассоциация тирологов. \*EU-TIRADS: Европейская система анализа и протоколирования результатов лучевых исследований щитовидной железы.  
 \*K-TIRADS: Корейская система анализа и протоколирования результатов лучевых исследований щитовидной железы

# Удобство и точность при инвазивных процедурах

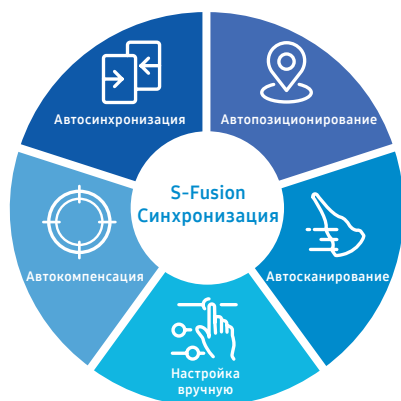
Непревзойденный выбор инструментов управления и визуализации RS85 помогает врачу действовать точно и уверенно при проведении инвазивных процедур

## S-Fusion™



## S-Fusion™

S-Fusion™ в реальном времени исследует подозрительное образование, сочетая УЗИ с другими методами медицинской визуализации (КТ/МРТ). Запись в автоматическом режиме помогает быстро и точно совместить изображения, повышая эффективность и сокращая время процедуры. S-Fusion™ обеспечивает точное прицеливание во время интервенционных и других сложных клинических процедур.



### Автосинхронизация

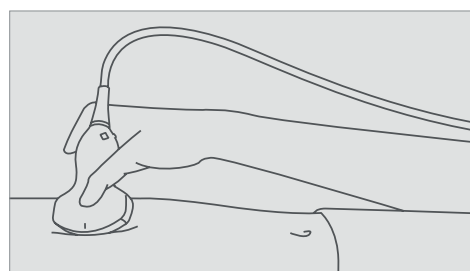
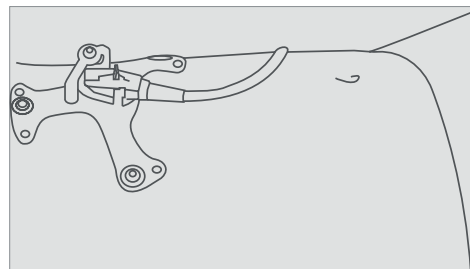
Функция первичной автоматической синхронизации при помощи внешних маркеров, фиксируемых на теле пациента, для быстрого и точного обследования по технологии S-Fusion™.

### Автопозиционирование

Быстрая первичная синхронизация между КТ/МРТ и УЗ-изображениями, проводимая за один шаг. Перед началом исследования датчик помещается в область эпигастрия.

УЗИ

МРТ



## Система навигации CIVCO Verza

Совместимость с системой для биопсии Verza облегчает анатомический доступ благодаря возможности подхода с пяти углов и широкому выбору калибра игл.

### S-Tracking

На ультразвуковом изображении S-Tracking отображает расчетную траекторию иглы и маркер цели в реальном времени, повышая точность инвазивной процедуры.



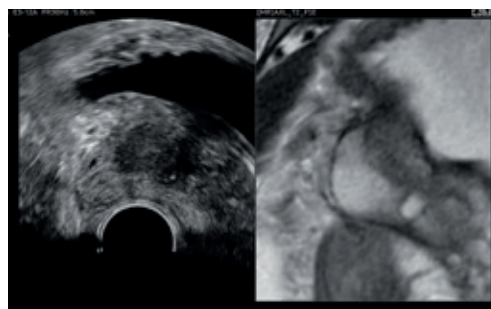
## S-Fusion™ для предстательной железы

S-Fusion™ позволяет быстро и безопасно провести биопсию предстательной железы. Используя 3D-модели на основе данных МРТ, функция с высокой точностью наводит пункционную иглу на железу.



### Автокалибровка

Для более точного и надежного проведения процедуры функция S-Fusion™ для предстательной железы выполняет автоматическую калибровку в режиме реального времени.

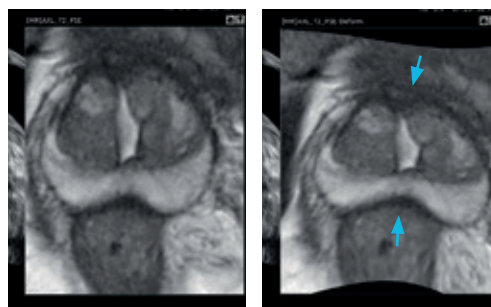


Автокалибровка



### Коррекция деформации

Предстательная железа может изменить форму вследствие компрессии датчиком во время биопсии. Функция коррекции деформации повышает степень синхронизации с МРТ-изображением и применяется при прицельной биопсии предстательной железы.

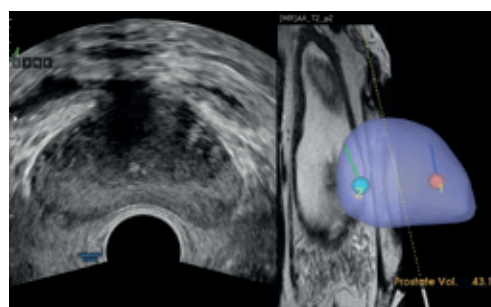


Исходные данные МРТ

Коррекция деформации

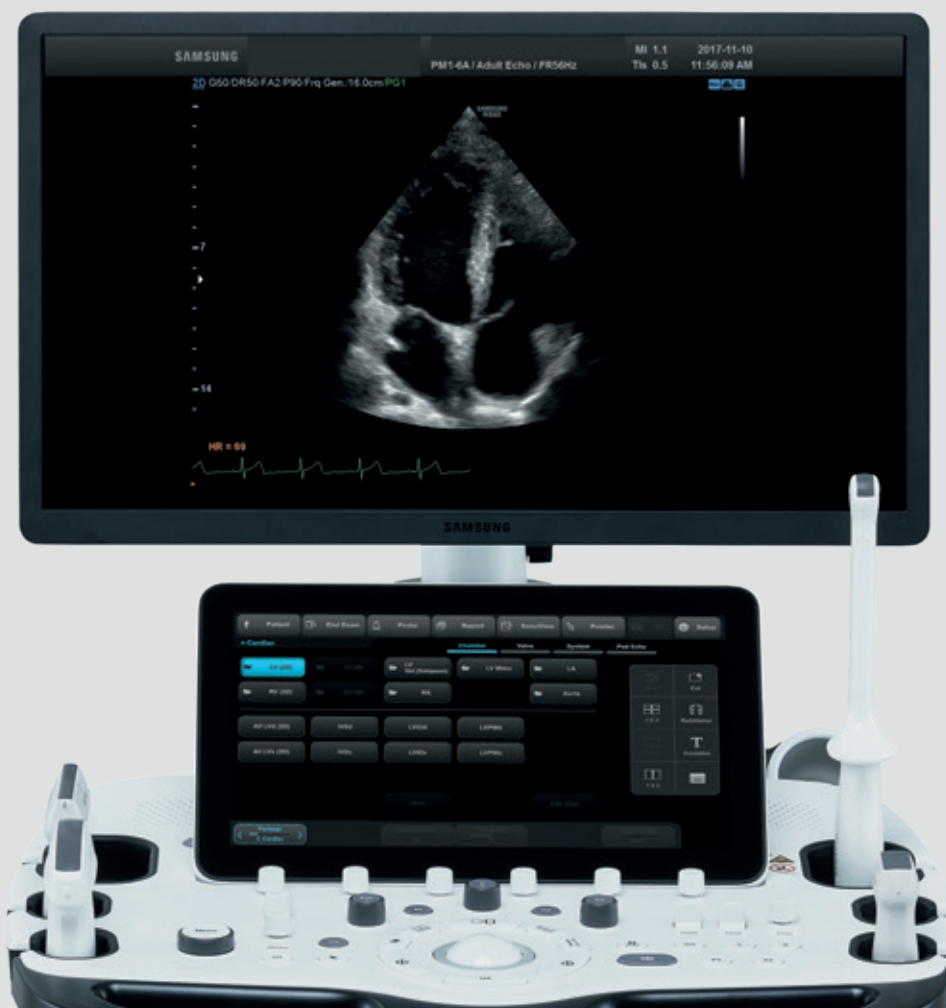
## 3D Modeling

S-Fusion™ для предстательной железы обеспечивает безопасное и точное наведение иглы во время процедуры биопсии, а также картирование местоположения иглы. Для этого используются 3D-модели, созданные из наборов данных МРТ.



3D моделирование

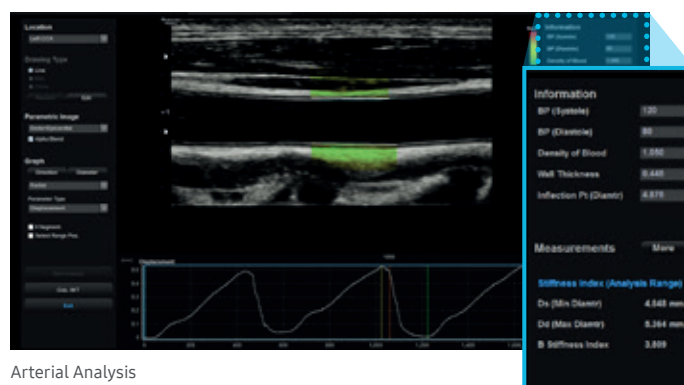
# Расширенная диагностика сердечно-сосудистых заболеваний



Универсальный комплект инструментов позволяет выполнять расширенную диагностику сердечно-сосудистых заболеваний.

## Артериальный анализ (усовершенствованное обнаружение функциональных изменений сосудов)

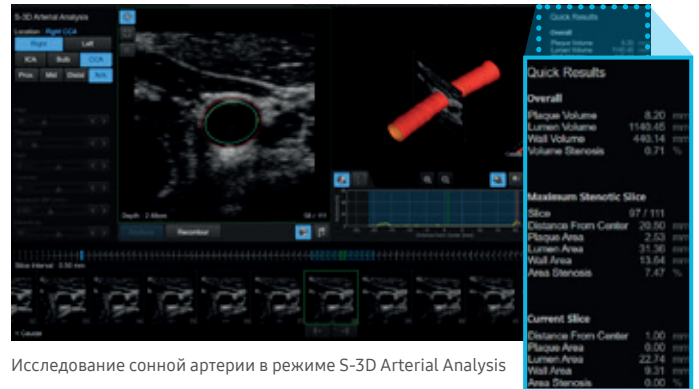
Артериальный анализ позволяет определить функциональные изменения сосудов, рассчитывая такие показатели, как жесткость, толщина интима-медиа и скорость распространения пульсовой волны общей сонной артерии. Поскольку функциональные изменения проявляются раньше, чем морфологические, эта технология способствует ранней диагностике сердечно-сосудистых заболеваний.



Arterial Analysis

## Артериальный S-3D-анализ (инновационный метод измерения объема бляшки артерии)

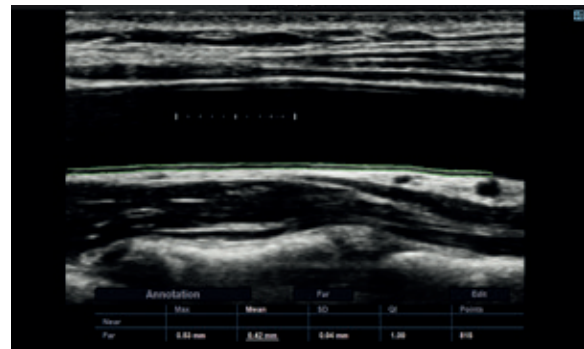
С помощью артериального S-3D-анализа создается 3D-модель сосуда, благодаря чему можно легко и быстро определить объем бляшки артерии даже в самых сложных случаях. Кроме того, он позволяет отслеживать морфологические изменения стенки сосуда.



Исследование сонной артерии в режиме S-3D Arterial Analysis

## Auto IMT+™

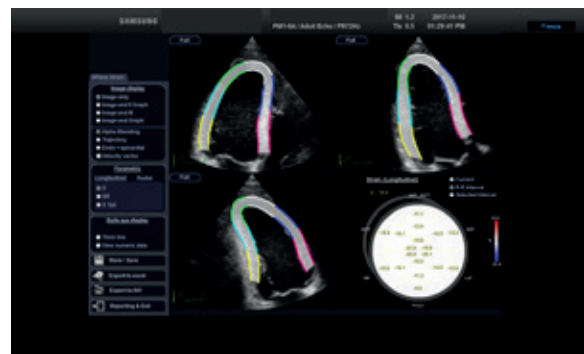
Функция Auto IMT+™ позволяет оценить риск развития сердечно-сосудистых заболеваний у пациента. С ее помощью можно измерить толщину комплекса интима-медиа передней и задней стенок общей сонной артерии одним нажатием кнопки. Благодаря этому сокращается время обследования и повышается эффективность диагностики.



Измерение ТИМ с помощью функции Auto IMT+™

## Strain+

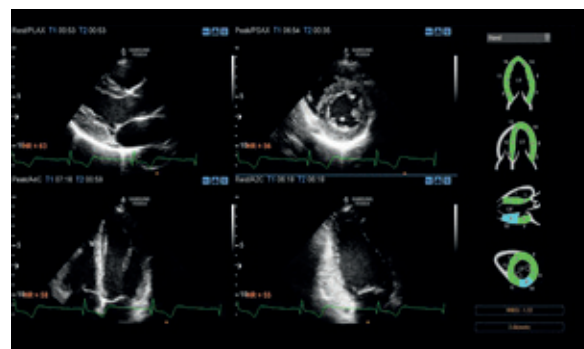
Strain+ — метод оценки деформации миокарда с отображением результатов на круговой диаграмме (бычий глаз), который позволяет оценить движение стенок и выявить диссинхронию левого желудочка.



Strain+

## Stress Echo

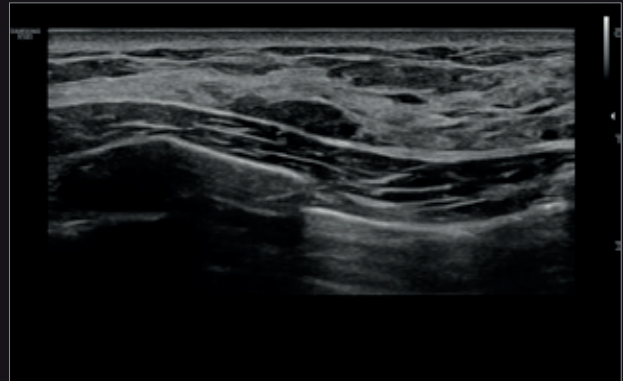
Пакет Stress Echo используется для сравнительной оценки движения стенки желудочка в покое и во время нагрузки. Включает в себя протоколы Stress Echo с применением физической или фармакологической нагрузкой, а также свободно программируемые пользовательские протоколы.



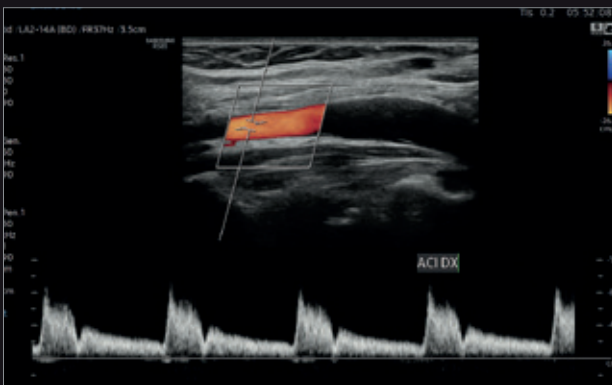
Stress Echo



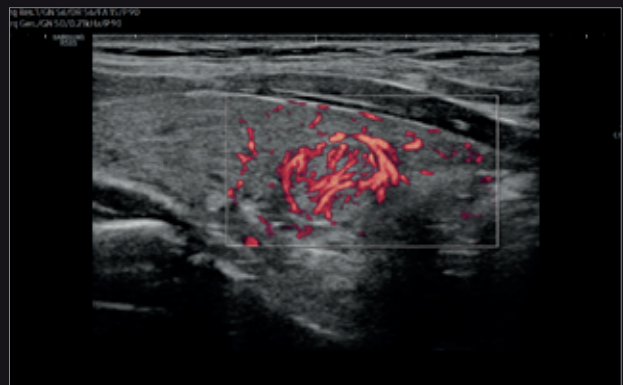
Печень в режиме S-Harmonic™



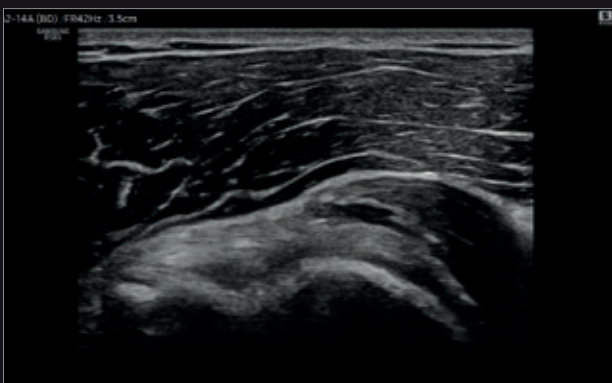
Молочная железа в режиме S-Harmonic™



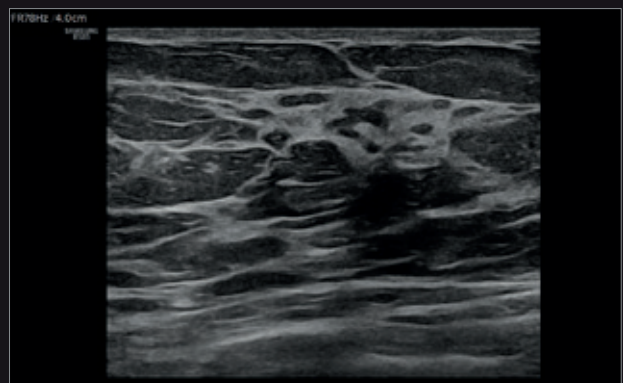
Внутренняя сонная артерия в режиме ЦДК/ИД



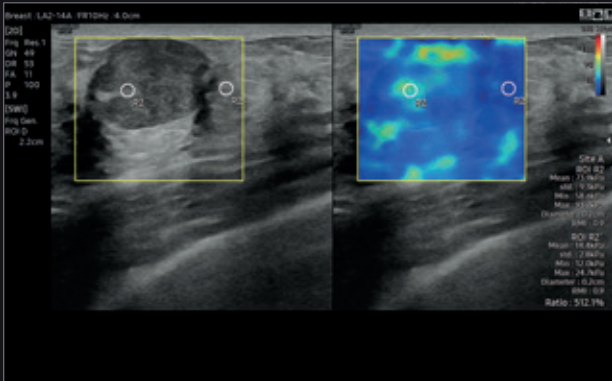
Узел щитовидной железы в режиме MV-Flow™



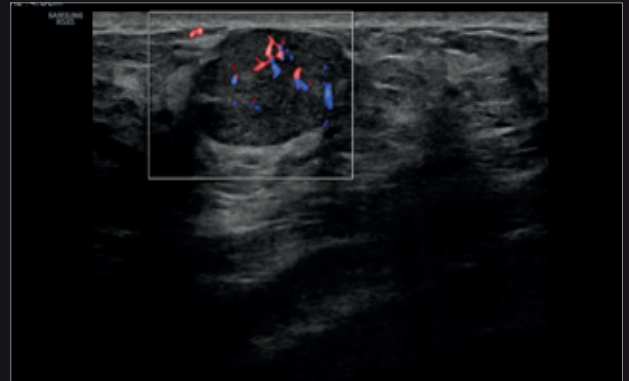
Плечевой сустав в режиме S-Harmonic™



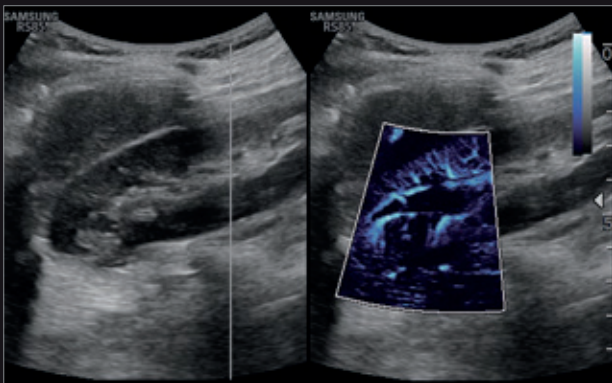
Молочная железа



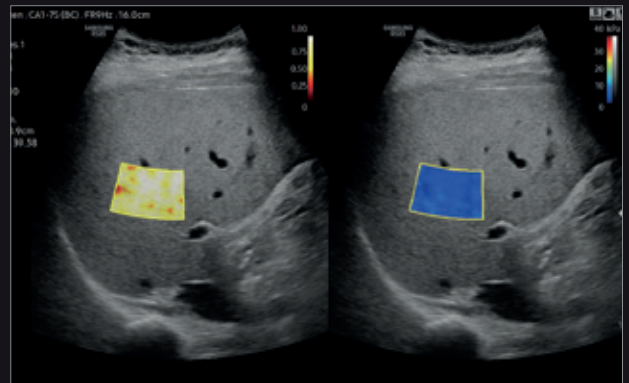
Новообразование молочной железы в режиме S-Shearwave Imaging™



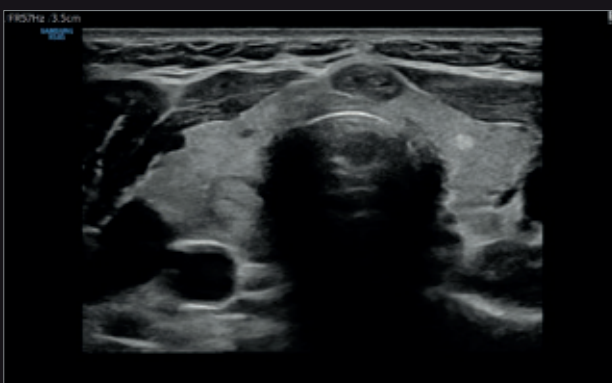
Новообразование молочной железы в режиме ЦДК



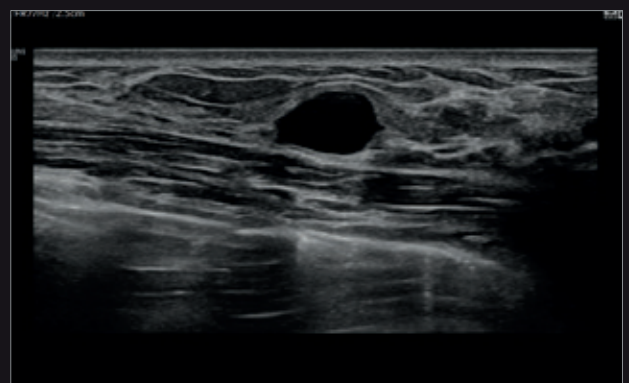
Почка в режиме MV-Flow™



Печень в режиме S-Shearwave Imaging™

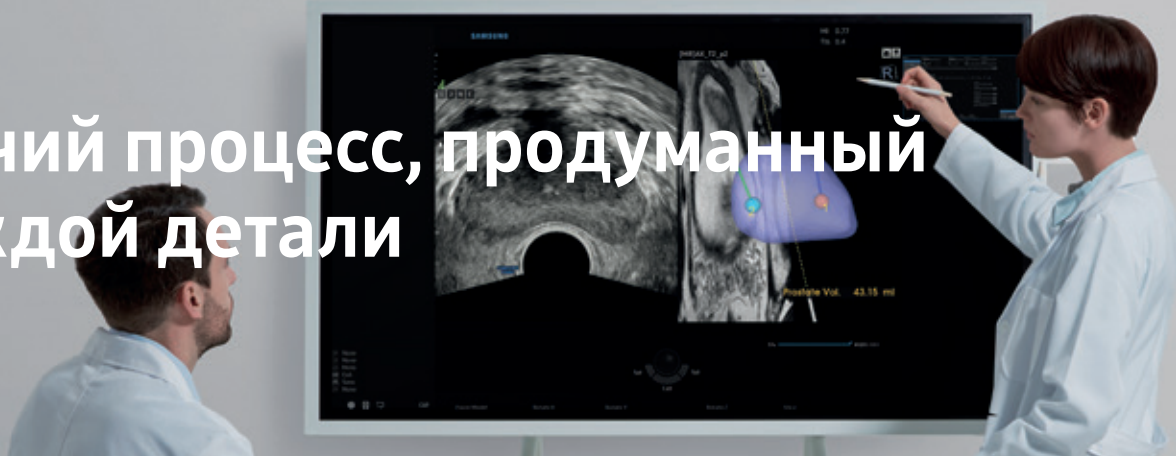


Щитовидная железа в режиме S-Harmonic™



Киста молочной железы в режиме S-Harmonic™

# Рабочий процесс, продуманный в каждой детали



Тщательно спроектированная эргономика RS85 ускоряет рабочий процесс, упрощая взаимодействие между специалистами. В аппарате сокращены нажатия клавиш, а несколько действий объединены в одно.

## SonoSync™



Программа SonoSync™ поддерживает эффективное взаимодействие и помогает в обучении, позволяя профессионалам обмениваться УЗ-изображениями в реальном времени. В ней предусмотрены голосовой чат, установка маркеров и функция MultiVue для просмотра нескольких УЗ-изображений на одном экране.



Ультразвуковая система

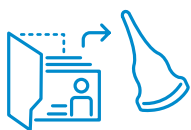


Сеть

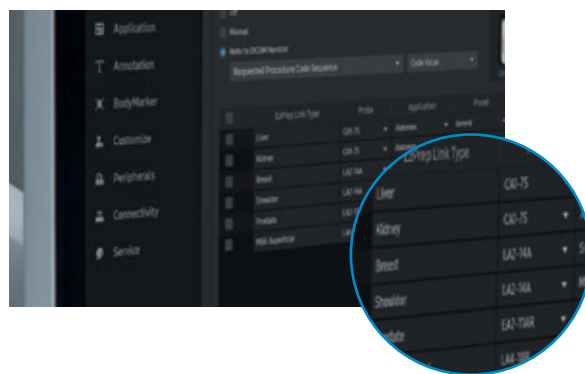


ПК\Планшет\Смартфон

## EzPrep™



Функция EzPrep™ автоматически выбирает датчик из предварительно введенного рабочего списка и устанавливает пресет выбранного датчика.

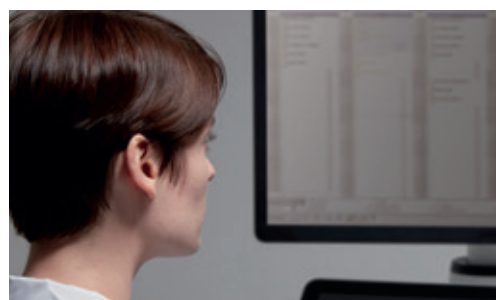


## RIS Browser



Функция RIS Browser предоставляет доступ к РИС\* через встроенный браузер без экспорта на ПК после сканирования — что повышает эффективность рабочего процесса.

\*РИС – Радиологическая информационная система.





### Широкий экран

Широкоформатный монитор расширяет возможности — на целых 23% больше полезной информации перед глазами по сравнению со стандартными экранами.



### 13.3 дюймовый наклонный сенсорный экран

Наклон сенсорного экрана регулируется в зависимости от предпочтений пользователя и условий просмотра.



### Панель управления

Панель управления регулируется в 6 направлениях, избавляя доктора от лишних движений. После отключения аппарата панель автоматически возвращается в исходное положение.



### Сенсорные настройки

Часто используемые функции размещаются на первой странице при помощи сенсорного интерфейса. Пациент получает максимум внимания, когда у врача все инструменты под рукой.



### Центральный замок

Консоль легко и удобно фиксируется педалью управления с центральным замком.



### Маневренные колеса

Четыре поворотных колеса позволяют легко маневрировать или заблокировать перемещение аппарата.

